

任意의 境界條件을 갖는 鐵筋 콘크리트 斜板의 解析

An Analysis of the R/C Skew-Plates With Arbitrary Boundary Conditions

趙 顯 榮* · 曹 鎮 久**
Cho, Hyun Young · Cho, Jin Goo

Summary

This study was carried out to investigate mechanical characteristics of the uniformly loaded skew-plate at 4 kinds of boundary condition ; i) all edges are clamped (BC-1), ii) all edges are simply supported (BC-2), iii) two opposite edges are clamped and the other two edges are free (BC-3), and iv) two opposite edges are simply supported and the other two edges are free (BC-4). Various skew angles, 0°, 10°, 15°, 30°, 40°, 45°, and 60°, of the plate were tested for the above boundary conditions. Results obtained from the study are summarized as follows :

1. The lateral displacement at the center of a skew- plate was decreased as the skew-angle increased at all of the boundary conditions. The decrements of the conditions of BC-3 and BC-4 were considerable. And, difference of the displacement between the boundary conditions was decreased as the skew-angle was increased.
2. \bar{X} -moments (to the \bar{Y} -axis) at the center of a skew- plate and the minimum principal moments were shown as a similar pattern of change with respect to the skew-angle variation between BC-1 and BC-2 and between BC-3 and BC-4, and the pattern of change at the conditions of BC-3 and BC-4 were shown higher rates than those for the conditions of BC-1 and BC-2
3. \bar{Y} -moments (to the \bar{X} - axis) at the center of a skew-plate and the maximum principal moment were decreased as the skew-angle increased in a similar pattern at all of the boundary conditions.
4. \bar{X} -moments at the obtuse angle side of a skew-plate were shown as a parabolic pattern of change (first increased after then decreased) as the skew-angle increased, and a skew-angle resulting the maximum absolute moment was depended on the boundary conditions.
5. \bar{Y} -moments at the obtuse angle side of a skew-plate were affected by the skew-angle much more at the boundary conditions of BC-2 and BC-4 than at the conditions of BC-1 and BC-3.
6. Maximum principal moments at the obtuse angle side of a skew-plate at the skew angle of 40°~45° were resulted almost the same value at all of the boundary conditions .

* 全南大學校 農科大學

** 釜山大學校 工科大學

I. 序論

任意의境界條件을 갖는 斜板은 解析時 數學的 어려움이 있음에도 불구하고 現代 構造物에서 많이 利用되고 있다.

例를 들면, 橋梁이나 建築物의 바らく슬립 또는 비행기의 날개 등에서 斜板이 利用되고 있음을 볼 수 있다. 板解析의 古典的理論은 Kirchoff-Love의 假定에 근거를 두고 있으며 이것의 物理的 意味는 板이 無限한 剪斷剛性을 갖는 것을 뜻하며 여기에는 剪斷變形의 影響을考慮할 수가 없다. 한편 Timoshenko는 剪斷變形의 影響을考慮할 수 있는 理論을 展開한 바 있으며 Tene는 이 理論을 월構造物에 適用한 바 있다¹⁴⁾. 여기서 板理論의 古典的假定은 Bernoulli의 假定으로 代置되었다. 이 假定은 본 論文에서 自然座標系의 使用과 함께 斜板의 解析에 適用된다.一般的으로 斜板의 舉動에 影響을 미치는 支配的因子로는 斜角의 크기, 邊長比, 境界條件 및 荷重의 狀態等이 있다. 筆者는 等分布荷重을 받는 4邊固定斜板이 斜角의 크기 및 邊長比에 따라 그의 力學的인 舉動이 어떻게 달라지는 가를 이미 報告한 바 있다^{17,18)}. 여기서는 任意의 境界條件을 갖는 斜板의 舉動特性을 究明하고자 한다.

II. 解析方法

본 論文에서의 解析方法은 筆者가 이미 報告한 바 있는 文獻(16 및 17)과 同一하다. 즉 任意의 境界條件을 갖는 斜板은 8-節點 아이소파라메트릭 平板要素²⁾로서 離散化되었으며 要素의 定式化에는 Mindlin의 板理論이 採用되었다. 또한 여기서 使用된 컴퓨터 프로그램은 1개의 主프로그램과 16개의 副프로그램으로構成되어 있으며 그의 全體的인 흐름은 文獻(16)과 同一하여 다만 基本的인 入力데이터만 變化시켰다.

III. 解析例 및 考察

앞에서 說明한 프로그램을 使用하여 Fig. 1과 같은 R/C斜板에 等分布荷重이 作用하는 경우 境界條件을 달리하여 解析하였으며 이때 使用된 諸係數는 다음과 같다.

$E_c=240,000\text{kg/cm}^2$: 콘크리트의 弹性係數

$\nu_c=0.17$: 콘크리트의 泊아손比

$\sigma=2,500\text{kg/m}^3$: 콘크리트의 自重

$t=30\text{cm}$: 斜板의 두께

$q=500\text{kg/m}^2$: 斜板에 作用하는 分布荷重

要素의 分割은 Fig. 1과 같으며 이때 境界條件는 4邊固定(BC-1), 4邊單純支持(BC-2), 對應되는 2邊固定 다른 2邊自由(BC-3) 및 對應되는 2邊單純支持 다른 2邊自由(BC-4)의 4경우로 하였으며 이들 각각의 境界條件에 대해서 斜角의 크기를 $0^\circ, 10^\circ, 15^\circ, 20^\circ, 30^\circ, 40^\circ, 45^\circ$ 및 60° 의 8경우로 하였다.

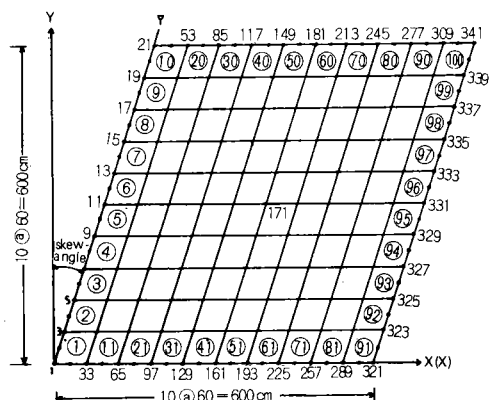


Fig. 1. Geometry of R/C skew-plate and mesh generation

1. 鉛直變位特性

斜板의 中央에서의 鉛直變位를 圖示하면 Fig. 2와 같다.

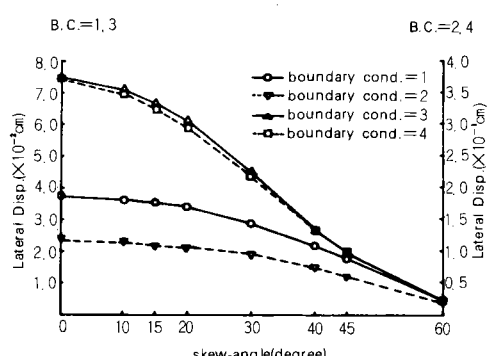


Fig. 2. Lateral displacement in central region

任意의 境界條件을 갖는 鐵筋콘크리트 斜板의 解析

各 境界條件에서 斜角의 增加에 따른 斜板 中央의 鉛直變位는 BC-3 및 BC-4의 경우가 BC-1 및 BC-2의 경우에서 보다 變位의 減少 현상이 현저하게 나타났으며 4邊에서 支持된 BC-1 과 BC-2의 差異보다는 2邊에서 支持된 BC-3 과 BC-4의 差異가 훨씬 작게 나타났다. 中央鉛直變位의 크기는 BC-4 > BC-2 > BC-3 > BC-1 이었으며 特히 4邊單純支持 (BC-2) 斜板보다는 오히려 對應되는 2邊이 固定된 (BC-3) 斜板에서의 鉛直變位가 작게 일어났다. 全般的으로 斜角의 增加에 따라 中央의 鉛直變位는 모든 境界條件에서 점차 減少되었으며 特히 斜角 60° 的 경우 BC-1 과 BC-3 이 그리고 BC-2 와 BC-4 가 거의 同一한 變位를 나타내고 있어 支持邊의 數와는 關係가 없고 拘束狀態의 영향을 받고 있음을 알 수 있었다.

2. 모멘트의 變化

任意의 境界條件을 갖는 斜板의 中央部, 鈍角部 및 銳角部에서의 모멘트의 變化를 圖示하면 Fig. 3, Fig. 4 및 Fig. 5 와 같다.

먼저 中央部에서의 X-모멘트 (Y軸에 關한 回轉 모멘트)의 경우 斜角의 增加에 따라 4邊支持의 경우 (BC-1 및 BC-2)는 큰 變화가 없이 약간 增加되는 傾向을 보이다가 斜角 45° 以上에서 현저하게 減少되는 傾向을 보였으며 모든 斜角에서 境界條件에 따른 모멘트의 差異가 크게 나타났다. 反面에 BC-3 및 BC-4의 경우는 모든 斜角에서 모멘트는 全般的으로 減少되었으나 境界條件에 따른 差異는 거의 없었다. 즉 X-

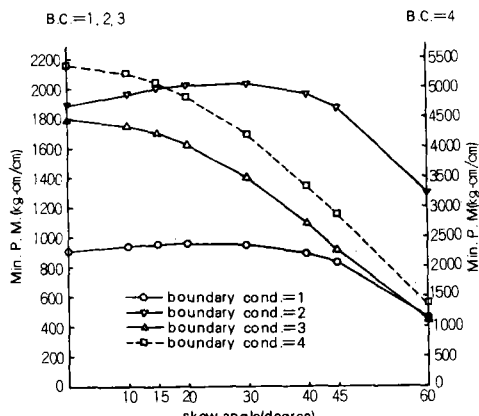


Fig. 3. (a) X-Moments, central region

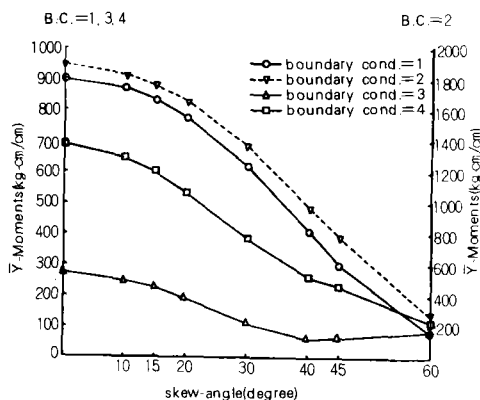


Fig. 3 (b). Y-Moments, central region

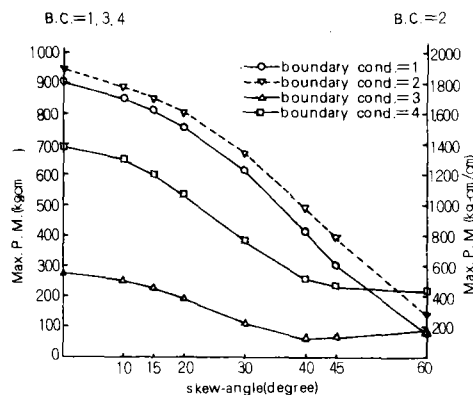


Fig. 3 (c). Max. Principal Moments, central region

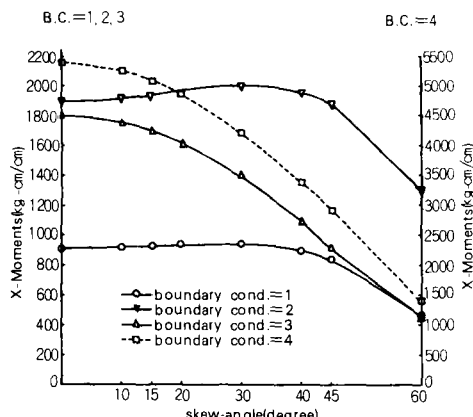


Fig. 3 (d). Min. Principal Moments, central region

모멘트의 变化는 各 境界條件에서 斜角이 增加함에 따라 BC-1 및 BC-2가 그리고 BC-3 및 BC-4가 各各 類似한 傾向을 보였으며 이때 2邊支持의 경우(BC-3 및 BC-4)가 4邊支持의 경우(BC-1 및 BC-2) 보다 모멘트의 減少가 더 크게 나타났다. 모멘트의 크기는 BC-4>BC-2>BC-3>BC-1로 되었다.

\bar{Y} -모멘트(\bar{X} -軸에 關한 回轉모멘트)의 경우 모든 境界條件에서 斜角이 增加함에 따라 全般的으로 減少하는 類似한 傾向을 보였다. 特異한 것은 BC-3의 경우에는 斜角 40°以上에서 약간 增加倾向을 보였으며 斜角 60°일 경우에는 境界條件에 關係 없이 비슷한 值을 나타냈다. 즉 境界

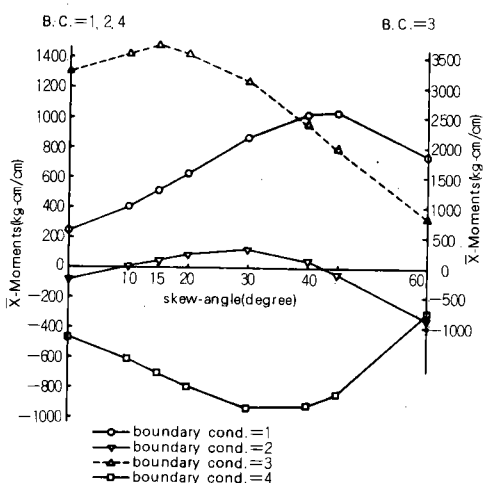


Fig. 4 (a). X-Moments, obtuse-angle region

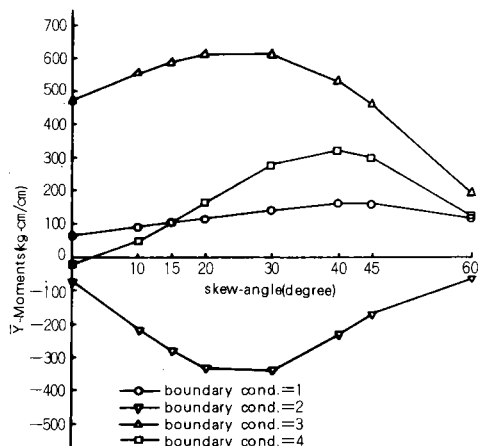


Fig. 4 (b). Y-Moments, obtuse-angle region

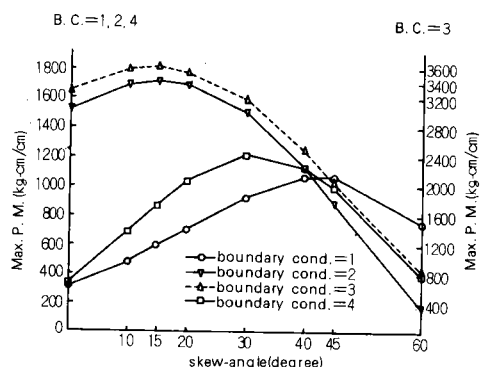


Fig. 4 (c). Max. Principal Moments, obtuse-angle region

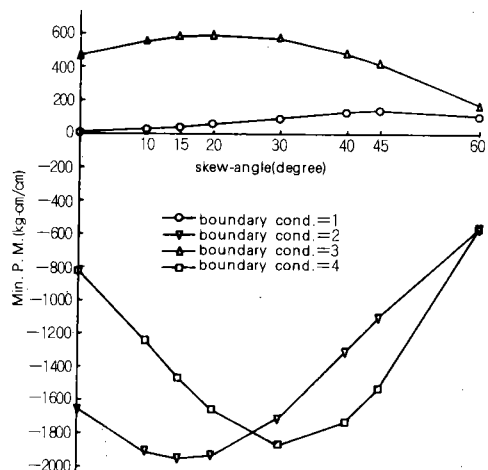


Fig. 4 (d). Min. Principal Moments, obtuse-angle region

條件에 따른 모멘트의 值의 差異가 크게 減少되었다. 모멘트의 크기는 BC-2>BC-1>BC-4>BC-3이었다. 最大 主 모멘트는 \bar{Y} -모멘트와 그리고 最小 主 모멘트는 \bar{X} -모멘트와 類似한 傾向을 나타냈다.

鈍角部에서의 모멘트는 모든 境界條件에서 斜角이 增加함에 따라 약간 增加되다가 다시금 減少되는 傾向을 보였다. 먼저 \bar{X} -모멘트의 경우 BC-1은 모든 斜角에서 矩形板의 경우 보다 큰 모멘트가 나타났으며 BC-4의 경우에는 斜角 60°일 때만 矩形板의 경우보다 작게 나타났다. 또한 BC-3에서 斜角 25°以上의 경우에는 矩形板의 경우보다 減少되었다. 다만 BC-2의 경우에는 斜角의 크기에 따라 正·負의 모멘트가 交代로 나타나고 있음에 有意味해야 한다. 또한 모멘트의 絶

任意의 境界條件을 갖는 鐵筋콘크리트 斜板의 解析

對值가 最大값을 갖는 斜角의 크기는 境界條件에 따라 相異하였다.

\bar{Y} -모멘트는 BC-1의 경우에는 斜角에 따른 큰 變化는 없었으나 그以外의 境界條件의 경우에는 斜角 $30\sim40^\circ$ 以上에서 상당한 값의 增減現象을 볼 수 있었다. 特히 BC-4의 경우에는 斜角 0° 일 때 鈍角部에 大端히 작은 모멘트가 發生되지만 斜角의 增加에 따라서相當히 큰 모멘트가 發生되었다.

最大 主 모멘트의 경우 BC-2 및 BC-3이 그리고 BC-1 및 BC-4가 각各類似한 傾向을 보였으며 最大 主 모멘트의 크기는 BC-3 > BC-2 > BC-4 > BC-1로 되었으며 特히 斜角 $40^\circ\sim45^\circ$ 사이에서는 境界條件에 따른 값의 차이가 가장 크게 나타났다. 한편 最小 主 모멘트의 경우는 BC-1 및 BC-3이 그리고 BC-2 및 BC-4가 각各類似한 傾向을 나타냈지만 特히 斜角에 따른 모멘트의 變化는 BC-2 및 BC-4의 경우 심하게 나타났으며 絶對值의 크기가 最大값이 되는 斜角의 크기는 境界條件에 따라 相異하였다.

銳角部에서의 모멘트의 變化를 圖示하면 Fig.5와 같다.
 \bar{X} -모멘트의 경우 全般的으로 減少倾向을 나타낸 데 反해서 BC-2의 경우만 약간 增加되다가 다시 減少되었다. 모멘트의 크기는 斜角 0° 의 경우以外에는 BC-3 > BC-4 > BC-2 > BC-1로 되었으며 BC-3 및 BC-4에서 모멘트의 變化가 심하게 나타났다. \bar{Y} -모멘트의 경우도 \bar{X} -모멘트와 類似한 傾向을 보였지만 特히 BC-3의 경우

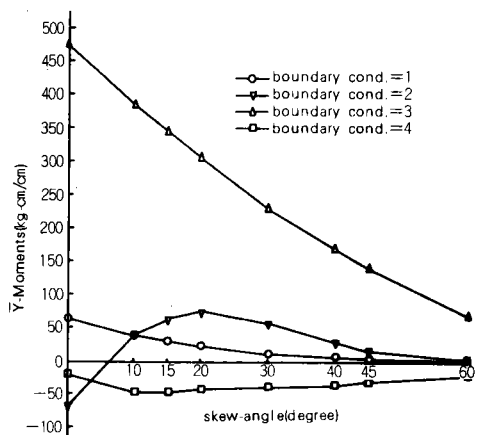


Fig. 5 (b). \bar{Y} -Moments, acute-angle region

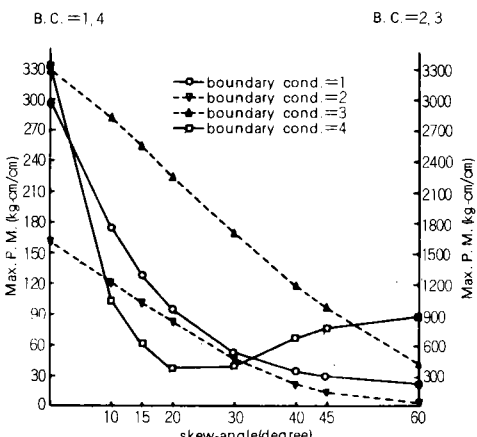


Fig. 5 (c). Max. Principal Moments, acute-angle region

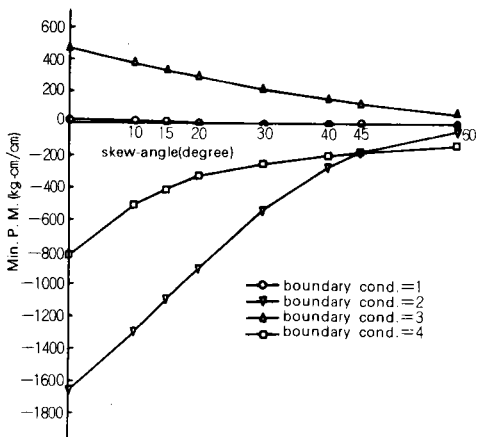


Fig. 5(d). Min. Principal Moments, acute-angle region

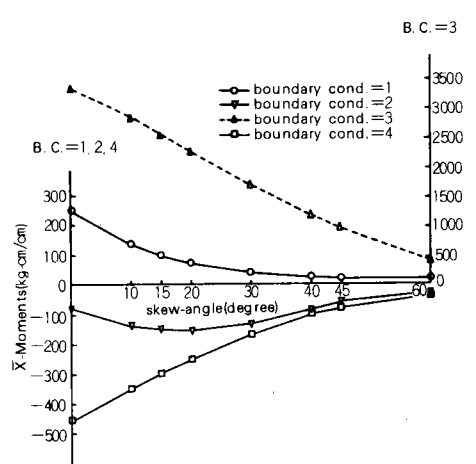


Fig. 5 (a). \bar{X} -Moments, acute-angle region

斜角에 따른 모멘트의變化가 심하게 일어났으며 모멘트의 크기는 BC-3의 경우 가장 크게 나타났다. 最大主 모멘트는 BC-1, BC-2 및 BC-3의 경우에는 全般的으로 減少되었으며 BC-4의 경우는 減少되다가 斜角 30°부터 다시 增加하였다. 最小主 모멘트는 모든 境界條件에서 減少傾向을 나타냈으며 絶對值의 크기는 斜角 45°以下에서 BC-2 > BC-4 > BC-3 > BC-1로 되었으며 BC-2의 경우에 斜角에 따른 모멘트의變化가 큰 것으로 나타났다. 特히 BC-1의 경우에는 最小主 모멘트는 거의 零에 가까운 작은 값이었다.

3. 支持邊에의 荷重傳達

斜板에서 境界條件에 따른 各 支持邊에의 荷重傳達을 알아보기 위하여 斜板의 中央部에서 \bar{X} -모멘트에 대한 \bar{Y} -모멘트의 比를 圖示하면 Fig. 6 과 같다.

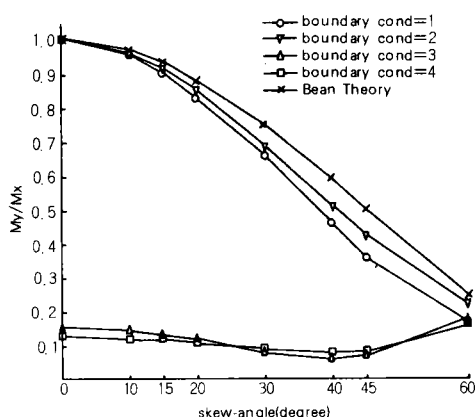


Fig. 6. Ratio of M_y to M_x , central region

斜角 45°까지는 모든 境界條件에서 斜角이 增加함에 따라 모멘트比가 減少되고 있으며 斜角 45°以上으로 되면 BC-3과 BC-4는 약간 증가되는 경향을 보였다. 이것은 斜角이 增加함에 따라 \bar{Y} -邊의 길이가 \bar{X} -邊의 길이보다 커지기 때문에 大部分의 荷重이 短邊方向으로 傳達됨을 뜻한다. 또한 본 論文에서의 結果를 보 理論에 의해서 구한 結果와 比較圖示하였다.

4. 反力의 分布 特性

斜板의 支持邊에 發生하는 反力의 分布 特性

을 알아보기 위하여 鈍角部 偶節點, 銳角部 偶節點 및 \bar{Y} -軸上의 中央節點에서의 反力を 圖示하면 Fig. 7 과 같다.

各 境界條件에서 鈍角部 偶節點에서의 反力은

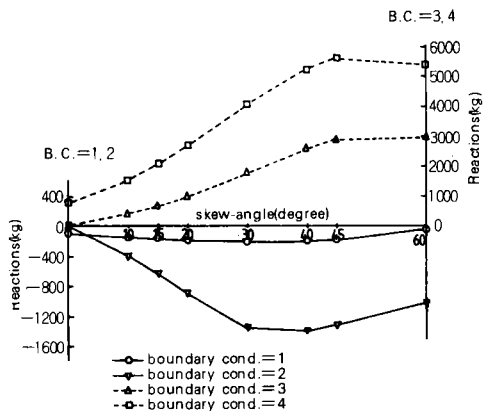


Fig. 7 (a). Reactions, obtuse-angle corner node

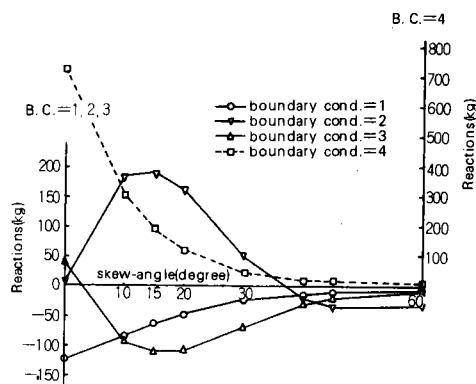


Fig. 7 (b) Reactions, acute-angle corner node

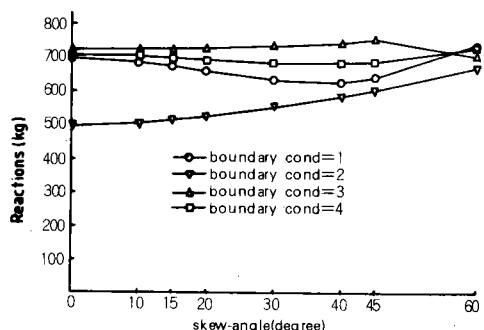


Fig. 7 (c). Reactions, intermediate node on \bar{Y} -axis

BC-2, BC-3 및 BC-4의 경우가 斜角에 따른 變化가 크게 나타났으며 BC-1의 경우에 가장 작게됨을 알 수 있다. BC-1 및 BC-2의 경우에는 下向反力이 그리고 BC-3 및 BC-4의 경우에는 上向反力이 發生하였다. 鋒角部 偶節點에서의 反力を 보면 BC-1 및 BC-3 그리고 BC-2 및 BC-4가 각各 類似한 傾向을 나타냈으며 斜角 30°以下에서 反力의 變化가 比較的 크게 나타났다. BC-1의 경우에는 모든 斜角에서 下向反力이 그리고 BC-4의 경우에는 모든 斜角에서 上向反力이 發生되는 한편 BC-3의 경우에는 斜角 0°에서 약간의 上向反力이 發生되고 斜角 10°以上에서는 모두 下向反力이 評價되었다. 그러나 BC-2의 경우에는 斜角 15°까지 反력이 크게 增加되다가 다시 減少되었으며 BC-3의 경우에는 反對로 斜角이 큰 경우에 下向反力에 發生되었다. 이와같은 偶節點에서의 反力의 傾向과는 달리 支持邊의 中央節點에 생기는 反力은 모든 境界條件에서 항상 上向反力으로서 그의 크기도 斜角의 影響을 크게 받지 않고 있음을 알 수 있다.

VI. 結論

等分布荷重을 받는 R/C 斜板에서 境界條件을 4邊固定(BC-1), 4邊單純支持(BC-2), 對應되는 2邊固定 다른 2邊自由(BC-3) 및 對應되는 2邊單純支持 다른 2邊自由(BC-4)인 경우로 하고 이를 각各의 境界條件에 대해서 斜角의 크기를 0°, 10°, 15°, 20°, 30°, 40°, 45° 및 60°로 變化시켰을 경우의 解析例로부터 다음과 같은結論을 얻을 수 있었다.

1. 斜板 中央의 鉛直變位는 斜角의 增加에 따라 減少傾向을 보였으며 特히 BC-3 및 BC-4에서 減少가 크게 나타났으며 4邊에서 支持된 BC-1과 BC-2의 差異보다는 2邊에서 支持된 BC-3과 BC-4의 差異가 훨씬 작게 나타났다. 또한 境界條件에 따른 鉛直変位의 差異가 점차 減少되었으며 斜角 60°에서는 境界條件에 따른 값의 差異가 거의 없었다.

2. 斜板 中央部에서의 \bar{X} -모멘트(\bar{Y} -軸에 關한 回轉 모멘트) 및 最小 主 모멘트는 BC-1 및 BC-2의 경우 모멘트의 값이 약간 增加하다가 斜角 45°以上일 경우 현저히 減少하는 反面에 BC-3 및 BC-4의 경우는 全般的으로 減少하였다.

3. 斜板 中央部에서의 \bar{Y} -모멘트(\bar{X} -軸에 關

한 回轉 모멘트) 및 最大 主 모멘트는 BC-3의 경우 斜角 45°以上에서 약간 增加되는 것을 除外하면 모든 境界條件에서 全般的으로 減少하는 傾向을 보였다.

4. 斜板 鈍角部의 \bar{X} -모멘트는 斜角이 增加함에 따라 增加되다가 다시 減少하는 傾向을 보였으며 모멘트의 絶對值가 最大값을 갖는 斜角의 크기는 境界條件에 따라 相異하였다.

5. 斜板 鈍角部의 \bar{Y} -모멘트는 BC-2, BC-3 및 BC-4의 경우 斜角에 따른 變化가 크게 나타났다.

6. 斜板 鈍角部의 最大 主 모멘트는 BC-2 및 BC-3이 그리고 BC-1 및 BC-4가 각各 類似한 傾向을 나타냈지만 特히 BC-2 및 BC-4에서 斜角에 따른 모멘트의 變化가 큰 것으로 나타났다.

7. 斜板 鈍角部의 最小 主 모멘트의 경우 BC-1 및 BC-3이 그리고 BC-2 및 BC-4가 각各 類似한 傾向을 나타냈지만 特히 BC-2 및 BC-4에서 斜角에 따른 모멘트의 變化가 큰 것으로 나타났다.

8. 斜板 鋒角部의 \bar{X} -모멘트는 BC-1, BC-3 및 BC-4가 類似한 傾向을 보였으며 斜角 60°일 경우 境界條件에 따른 값의 差異가 크게 減少되었다.

9. 斜板 鋎角部의 \bar{Y} -모멘트는 BC-3의 경우에 斜角에 따른 값의 變化가 크게 나타났다.

10. 斜板 鋎角部의 最大 主 모멘트는 BC-1, BC-2 및 BC-3에서 類似한 傾向을 나타냈다.

11. 斜板 鈍角部偶節點에서의 反力은 BC-2, BC-3 및 BC-4에서 斜角에 따른 값의 變化가 크게 되었으며 BC-1에서 가장 작게 나타났다.

參考文獻

1. B.M.Irons : 1970, A Frontal Solution Program for Finite Element Analysis, Jour. for Numerical Methods in Eng. Vol.2, pp.5-32.
2. E. Hinton and D.R.J. Owen : 1979, Finite Element programming, Academic Press Inc., London.
3. D.N. Buragohain and S.C. Patodi : 1977, Large deflection analysis of skew plates by Lumped Triangular Element Formulation, Computer and Structures, Vol.9, pp. 183-189.
4. Ingvaar H.E. Nilson and Anders Losberg : 19

76. Reinforced Concrete Coners and Joints subjected to bending moment. J. of St. Div., ASCE, Vol.102, No. ST6, pp. 1229-1254.
5. Jan C.Jofriet and Gregory M.Mcneice : 1971. Finite Element Analysis of Concrete Slabs. J. of St. Div., ASCE, Vol.97, No. ST3, pp. 373-806.
6. John B. Kennedy and Davaiath S.R. Gupta : 1979. Bending of Skew Orthotropic Plate Structures . J. of St. Div., ASCE, Vol.210, No. ST8, pp. 1559-1574.
7. Kazuhiko Kawashima, Chiaki Seki, Tates Kajita and Masao Naruoka : 1970. Analysis of points-supported skew plates by Finite Element Method. Poc. of JSCE.,No.184, pp. 3 3-39.
8. O.C. Zienkiewicz : 1977. The Finite Element Method. McGraw-Hill Book Co. Inc., New York
9. P. Desayi and A. Prabhakara : 1981. Load deflection behaviour of restrained R/C skew slabs. J. of St. Div., ASCE, Vol. 107, No. ST5, pp. 878-888.
10. R. Bares : 1979. Tables for the analysis of plates, slabs and diaphragms. Bauverlag Gmbh, Germany
11. Rudolph Szilard : 1974. Theory and Analysis of Plates. Prentice-Hall Inc., New Jersey
12. Timoshenko, S.P. and Woinowsky-Krieger, s : 1959. Theory of Plates and Shells. McGraw-Hill Book Co. Inc., New York
13. Timoshenko, S.P. and J.N. Goodier : Theory of Elasticity. McGraw-Hill Book Co. Inc., New York
14. Yair Tene and Izhak Sheinman : 1974. Analysis of Skew Plates with Shear Deformation using Natural Coordinates. J. of Eng. Mech. Div. ASCE, Vol.100, No. EM2, pp.235-249.
15. Masashi Iura and Masaharu Hirashima : 19 82. Fourier analysis of Shallow Right Helicoidal Shells. J. of JSCE Vol. 321. pp. 15 -21
16. 조진구 : 1983. 탄성지반상에 놓이고 기둥하중을 받는 skew-plate의 해석. 전남대학교 논문집 제28집. pp. 345 - 355.
17. 조진구, 이문수 : 1985. 등분포 하중을 받는 4 변 고정인 철근콘크리트 사판의 해석. 한국농공학회지 Vol. 27. No. 3, pp. 76~84.
18. 조진구, 이원준 : 1986. 등분포 하중을 받는 4 변 고정인 철근콘크리트 사판의 해석(Ⅱ) 한국농공학회지 Vol. 28. No. 1, pp. 75~82.